



## داده‌های سنجش از دور برای نقشه‌برداری لیتیم در منطقه دق پترگان ایران: مقایسه الگوریتم بیشینه انتروپی و تکنیک‌های کلاسیک پردازش تصویر

علی اسماعیلی<sup>۱</sup>

مهسا جهانبخش<sup>۱</sup>

تاریخ پذیرش مقاله: ۱۴۰۲/۰۳/۱۶

تاریخ دریافت مقاله: ۱۴۰۱/۱۱/۱۱

\*\*\*\*\*

### چکیده

در سال‌های اخیر شاهد تقاضای بالا برای لیتیم به دلیل کاربردهای فراوانش هستیم، به عنوان مثال لیتیم در تولید باتری‌های قابل شارژ و عمدتاً در بازارهای جهانی ساخت وسایل نقلیه الکتریکی و در راستای دستیابی به محیط زیست سالم و حمل و نقل مناسب به کار می‌رود، از این‌رو شناسایی ذخایر لیتیم بسیار مهم است. بهره‌گیری از داده‌ها و تکنیک‌های سنجش از دور در تشخیص منابع لیتیم به دلیل کاهش هزینه‌های اکتشاف میدانی می‌تواند مفید واقع شود. در این تحقیق، از تصاویر سنجنده ستینل-۲ در محدوده ۱۲ معدن شناخته شده لیتیم در سراسر جهان، به عنوان مناطق حضور لیتیم، استفاده شد و طی مراحلی، از این داده‌ها، متغیرهای مناسب برای مدل‌سازی تولید شد. در محدوده‌ی این معدن، نمونه‌هایی تولید و به عنوان ورودی الگوریتم مدل‌سازی استفاده شدند. برای مدل‌سازی توزیع نمونه‌های حضور لیتیم، از الگوریتم بیشینه انتروپی استفاده شد. از آنجا که وجود همبستگی میان متغیرهای ورودی باعث کاهش عملکرد مدل می‌شود و تفسیر نتایج مدل‌سازی را دشوار می‌نماید، ابتدا توسط شاخص VIF، همبستگی میان متغیرهای ورودی محاسبه و متغیرهایی که همبستگی بالایی داشتند حذف شدند. در نهایت یک مدل مناسب با معیار AUC برابر با ۰/۷۰۶ به دست آمد و توسط آن، منطقه مطالعاتی دق پترگان، واقع در استان خراسان جنوبی، ایران پهنه‌بندی شد که به موجب آن، دو منطقه محتمل حاوی منابع لیتیم شناسایی شدند. سپس با تکنیک‌های کلاسیک سنجش از دور شامل ترکیب رنگی و نسبت باندی و تجزیه و تحلیل مؤلفه اصلی و SAM نیز پهنه‌بندی انجام شد. نتایج پهنه‌بندی بررسی و توانایی بالای الگوریتم بیشینه انتروپی مشخص شد، این روش به عنوان یک رویکرد هوشمند و کلی می‌تواند در مناطق دور افتاده و یا مناطق با مشکل دسترسی برای پتانسیل‌بایی‌های معدنی (خصوصاً لیتیم) به کار برده شود و در کاهش هزینه‌های نقشه‌برداری میدانی مفید واقع شود.

واژه‌های کلیدی: لیتیم، بیشینه انتروپی، سنجش از دور، SAM، ستینل-۲

\*\*\*\*\*

۱- کارشناس ارشد مهندسی سنجش از دور، دانشکده مهندسی عمران و نقشه‌برداری، دانشگاه تحصیلات تکمیلی صنعتی و فناوری پیشرفته، کرمان، ایران  
(نویسنده مسئول) [mahsajahanbakhsh8778@gmail.com](mailto:mahsajahanbakhsh8778@gmail.com)

۲- استادیار دانشکده مهندسی عمران و نقشه‌برداری، دانشگاه تحصیلات تکمیلی صنعتی و فناوری پیشرفته، کرمان، ایران [Aliesmaeily@kgut.ac.ir](mailto:Aliesmaeily@kgut.ac.ir)

کاذب مثبت شناسایی شده‌اند، بنابراین از شبکه عصبی مصنوعی بهمنظور بهبود طبقه‌بندی استفاده کردند. در این تحقیق، از تصاویر سنتینل-۲ و شبکه عصبی سه لایه استفاده شد که توانست با دقت بالایی به شناسایی معادن لیتیم منطقه مطالعاتی پردازد، همچنین نتایج روش‌های شبکه عصبی مصنوعی (ANN)، درخت تصادفی (RF) و ماشین بردار پشتیبان (SVM) مورد مقایسه و ارزیابی قرار گرفت. علیرغم بهبود نسبی نتایج، هنوز هم تعداد زیادی از مناطق لیتیم بهطور کاذب مثبت شناسایی شدند، اما بهطور کلی یک رویکرد یکپارچه برای اکتشاف لیتیم با استفاده از ANN ارائه دادند. (Booysen, et al. 2022) با استفاده از تصویرهای فراطیفی (HSI) و ترکیب آنها با نمونه‌های جمع‌آوری شده از منطقه مورد مطالعه و آنالیز طیفی، یک مدل سه‌بعدی ابر نقطه برای نقشه‌برداری کانی‌های لیتیم تولید کردند و توансند به نقشه توزیع مکانی لیتیم دست یابند. همچنین (Singh 2022) از تکنیک‌های سنجش از دوری و طبقه‌بندی نگاشت زاویه طیفی (SAM) و داده‌های های‌مپ و آستر و لنست-۸، بهره گرفت و در نتیجه با استفاده از ترکیبی از تصاویر و آنالیز طیفی رادیومتری، نقشه‌برداری از پگماتیت‌های لیتیم را انجام داد.

(Shevyrev, et al 2022) مدلی پیشنهاد دادند که توانست با استفاده از داده‌های سنجش از دوری مناطق با امکان دسترسی سخت و دارای پوشش گیاهی متراکم، را بهطور نسبی پردازش کند و با به کارگیری تغییرات هیدرولرمال مرتبط نقشه‌ی پیش‌بینی مواد معدنی مختلف را فراهم کند. اساس روش پیشنهادی کاربرد یک روش خودکار نقشه‌برداری دگرسانی‌ها با مدل پیش‌بینی بیشینه آنتروپوژی (MaxEnt) بود.

تحلیل مطالعات پیشین نشان می‌دهد که از متغیرهای مختلفی می‌توان برای آشکارسازی منابع لیتیم استفاده نمود که این متغیرها معمولاً باشد از تصاویر ماهواره‌ای گوناگون و یا ترکیب آنها با روش‌های مختلف از جمله ترکیب باندی، نسبت باندی و یا تحلیل مؤلفه‌های اصلی هستند. در رویکردهای

## ۱- مقدمه

تقریباً دو قرن است که لیتیم شناخته شده است، اما لیتیم به طور ناگهانی خبرساز شد، زیرا ماده‌ی اولیه در تولید باتری‌های لیتیم-یونی برای تأمین انرژی مورد نیاز خودروهای الکتریکی است و می‌تواند در قرن کنونی به ارزشمندی طلا باشد (Kim, et al. 2019)، بنابراین شناسایی ذخایر جدید لیتیم بسیار مهم و البته کاربرد روش‌های اکتشاف مدرن و کم هزینه، در اولویت است.

سنجش از دور می‌تواند پاسخی مناسب برای این موضوع باشد، در مراحل اولیه‌ی کاربرد سنجش از دور برای شناسایی مناطق با پتانسیل لیتیم، (Perrotta, et al. 2005) از تصاویر آستر برای پهنه‌بندی پگماتیت‌های لیتیم در برزیل استفاده کردند. (Mendes, et al. 2017) نیز تحقیق مشابهی به منظور شناسایی الگوی طیفی کانی‌های لیتیم انجام دادند. (Cardoso-Fernandes, et al. 2018) به تعیین پتانسیل داده‌های سنتینل-۲ در تشخیص کانی‌های لیتیم، با بهره‌گیری از تکنیک‌های ترکیب باند، نسبت باندی، تجزیه و تحلیل مؤلفه اصلی (PCA) پرداختند.

Cardoso-Fernandes, et al. (2019) شناسایی لیتیم، از تصاویر لنست-۵، لنست-۸- سنتینل-۲ و آستر استفاده کردند. منطقه مورد مطالعه این کار (اسپانیا) – Almendra (پرتغال) بود، که در آن انواع مختلف لیتیم شناسایی شد و ترکیب باندها و نسبت باندی‌های PCA جدید و همچنین زیرمجموعه‌های جدیدی برای انتخابی پیشنهاد شد که قادر به تمایز امضاهای طیفی لیتیم از امضا طیفی سنگ‌های میزبان بودند. (Gao, et al. 2020) با ترکیبی از روش‌های ژئوشیمیایی، زمین شناسی و سنجش از دوری، مناطق با پتانسیل لیتیم را مشخص کردند. نتایج این روش اکتشافی منجر به شناسایی منابع عظیمی از لیتیم در کمربند بایانکالا چین شد.

Cardoso-Fernandes, et al. (2020) اذعان کردند که در تحقیقات قبلی انجام شده، علیرغم توانایی بالای مدل‌های آنها، تعداد زیادی از مناطق به طور

## فصلنامه علمی - پژوهشی اطلاعات جغرافیایی (جغرافیا)

داده‌های سنجش از دور برای نقشه‌برداری لیتیم در منطقه دق پترگان ایران و ... / ۲۹

است و با اقلیمی گرم و خشک، ارتفاع متوسط ۹۸۸ متر از سطح آب‌های آزاد و بارش سالانه حدود ۱۲۰ میلی‌متر، دارای دمای متوسط سالانه ۱۸ درجه سانتی‌گراد است (علی، ۱۳۸۸). دشت‌های سیلابی، فلات و تراس‌ها، واحدهای اراضی را تشکیل می‌دهند و دارای خاکی از رده رگوسول گچی، سولونچاک سدیمی و آهکی است. این منطقه با شبی متوسط  $3/8$  درصد، شامل آبرفت‌های جوان همراه با رسوبات تبخیری نمکی است که مربوط به دوران چهارم هستند (Rostampour, et al. 2017). پوشش حاشیه جنوب غربی و غرب دشت را غالباً سنگ‌های آهکی ضخیم لایه یا توده‌ای متعلق به کرتاسه زیرین تشکیل می‌دهد و علاوه بر واحد یاد شده، واحدهای دیگر کرتاسه شامل گابرو و میکروگابرو، مارن، ماسه سنگ، آندزیت- بازالت، کنگلومرا، سنگ‌های ولکانیکی، شیل هستند. همچنین گسترش قابل توجه سنگ‌های اثوسن که شامل ماسه سنگ ژیپس دار و کنگلومرا است نیز در منطقه وجود دارد و سنگ‌های پالتوسن با رخنمون اندک از جنس کربناته قابل رویت است. آبخوان اصلی دشت شاهرخت-دق پترگان از سمت شمال، رسوبات ماسه بادی، تراس‌های قدیمی و جوان و پهنه‌های رسی و کویری از سمت شرق، کنگلومرا و بازالت پلیسون از سمت غرب و آندزیت-بازالت‌های الیگومیوسن نیز در متنهای ایه غربی ارتفاعات دشت شاهرخت، بافت زمین شناسی منطقه را تشکیل داده‌اند. سطح عمده دشت توسط رسوبات کواترنر که ضخامت آن‌ها براساس چاههای حفر شده، به طور میانگین ۷۰ متر برآورد شده، پوشیده شده است (علی، ۱۳۸۸).

### ۲- داده‌های مورد استفاده

در این پژوهش، از منابع ذیل استفاده شد که شامل دو دسته (الف) تصاویر ماهواره‌ای و (ب) موقعیت مکانی و اطلاعات برخی معادن شناخته شده و مطرح لیتیم در جهان است. این داده‌های مراحلی آماده‌سازی شدند و سپس داده‌های نهایی مورد نیاز برای مدل‌سازی، از طریق آن‌ها تهیه شد.

پیشرفته‌تر و هوشمندتر که از الگوریتم‌های یادگیری ماشین استفاده می‌شود، در این روش‌ها، الگوریتم یادگیری ماشین، مطابق با منطقی که پشت طراحی آن وجود دارد و همچنین بر اساس داده‌های موجود، به بهینه‌سازی می‌پردازد و سعی می‌کند بهترین ترکیب متغیرهای ورودی را بیابد.

در این تحقیق با بهره‌گیری از روشی مدرن سعی شد، رویکردی کلی و هوشمند ارائه شود، به طوری که با کمترین زمان و هزینه، پس از انتخاب باندهای تصاویر ماهواره‌ای مورد نظر به نقشه‌برداری مناطق محتمل وجود ذخایر لیتیم، پردازد و در این راستا توانایی روش یادگیری ماشین نظارت شده و روش‌های سنجش از دوری کلاسیک مقایسه و به چالش کشیده شوند. به این منظور در تحقیق حاضر تصاویر ماهواره‌ای ستینل-۲ و الگوریتم بیشینه آنتروپی به همراه روش‌های کلاسیک ترکیب باند و نسبت باندی و آنالیز مؤلفه اصلی و SAM به کار برده شد و در نهایت، هدف این تحقیق، میسر شد و ضمن معرفی دو منطقه با احتمال حضور مناسب برای لیتیم توانایی بالای الگوریتم بیشینه آنتروپی در قیاس با روش‌های پردازش تصویر کلاسیک مشخص شد.

### ۲- داده‌ها و روش‌ها

#### ۲-۱- منطقه مورد مطالعه

مطابق با گزارش بهمن ماه سال (۱۳۹۵) سازمان توسعه و نوسازی معادن و صنایع معدنی ایران (ایمیدرو)، منطقه‌ای در دق پترگان (نگاره ۱)، در شهرستان زیرکوه استان خراسان جنوبی، به عنوان منطقه محتمل به حضور منابع لیتیم شناسایی شده است و همچنان عملیات اکتشاف در آن ادامه دارد. محدوده مورد نظر، بین طول‌های جغرافیایی  $60^{\circ} 33' \text{ تا } 60^{\circ} 48'$  و  $33^{\circ} 33' \text{ تا } 33^{\circ} 31'$  شمالی و شرقی و عرض‌های جغرافیایی  $20^{\circ} 21' \text{ تا } 20^{\circ} 48'$  شمالی و با مساحت حدودی ۲۱۵۰ هکتار در حوزه دق پترگان واقع شده است. دشت دق پترگان در استان خراسان جنوبی، از شمال به نمکزار خوف و زوزن، از شرق به مرز افغانستان، از جنوب به محدوده خوشاب، از غرب به محدوده اسفدن و از جنوب غرب به گزیک آواز محدود شده

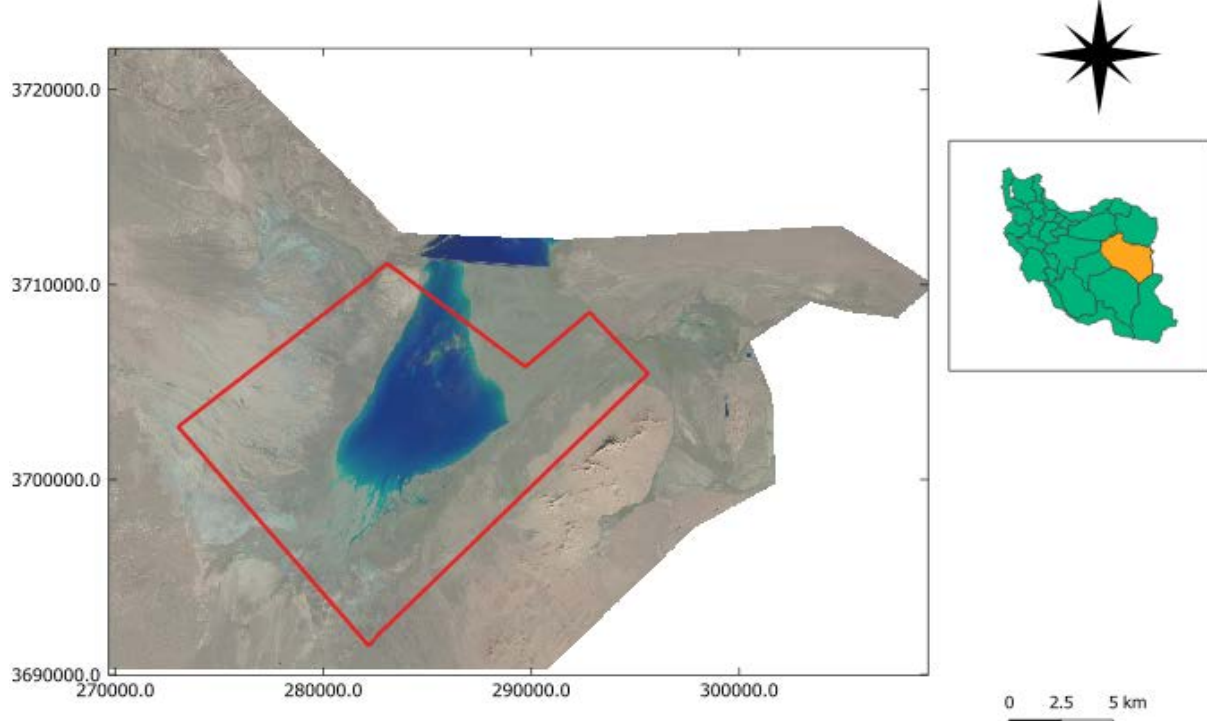
et al. 2012). پگماتیت، در واقع نامی است که به سنگ آذرین دانه درشت داده می‌شود. پگماتیت‌های گرانیتی منبع مهمی از فلزات کمیاب از جمله لیتیم، قلع، تانتالم، نیوبیم، بریلیم، سزیم، رویدیم، اسکاندیم، اسکاندیم، توریم، اورانیوم و خاک‌های کمیاب هستند (London 1986). دسته‌ی دیگر از منابع لیتیم، به صورت شورابه‌ای هستند. شورابه‌ها آب‌های شوری هستند که بدلیل تبخیر آب، دارای نمک زیاد هستند و مواد معدنی مانند لیتیم در تخلخل سنگ‌های آن‌ها به دام می‌افتدند (Gruber, et al. 2011). لپیدولیت، اسپودومن و پتالیت کانی‌های شاخص لیتیم هستند که دارای ویژگی‌های جذبی قابل توجهی در باندهای با طول موج تقریباً یکسان، هستند. (Cardoso-Fernandes, et al. 2021) با توجه به بخش (۱-۲) خصوصیات زمین‌شناسی منطقه به‌گونه‌ای است که پیش‌بینی می‌شود منبع لیتیم موجود در دق پترگان از نوع شورآبهای باشد، اما در آموزش مدل معادن با منابع لیتیم مختلف مورد استفاده قرار گرفت تا کلیه احتمالات حضور لیتیم در نظر گرفته شود.

## ۱-۲-۲- تصاویر ماهواره‌ای

تصاویر ماهواره‌ای سنتیل-۲ به عنوان داده‌های اولیه استفاده شدند. زیرا مواد معدنی، ویژگی‌های جذب مهمی در طول موج‌های مختلف، به خصوص در نواحی مرئی و مادون قرمز دارند که برای شناسایی این ویژگی‌ها، داده‌های سنتیل-۲، امتحان خود را پس داده‌اند و همواره توسط پروهشگران زیادی مورد استفاده قرار گرفته‌اند. (Cardoso-Fernandes, et al. 2018) (Cardoso-Fernandes, et al. 2019) (Cardoso-Fernandes, et al. 2020) (Köhler, et al. 2021)

## ۲-۲-۲- منابع لیتیم

نظر به اینکه بخشی از داده‌های مورد استفاده در تحقیق حاضر، مربوط به محدوده معادن مطرح و شناخته شده موجود در سراسر جهان است، ابتدا به معرفی انواع منابع اصلی لیتیم پرداخته شد. ذخایر لیتیم به شکل شورابه، پگماتیت و سنگ‌های رسوبی یافت می‌شوند (Gruber, et al. 2011) پراکندگی جهان برای لیتیم به‌طوری است که حدود ۶۲ درصد شورابه‌ای و ۳۸ درصد سنگ معدنی است، (Grosjean,



نگاره ۱: منطقه مطالعاتی دشت دق پترگان

## فصلنامه علمی - پژوهشی اطلاعات جغرافیایی (۲۸۰)

داده‌های سنجش از دور برای نقشه‌برداری لیتیم در منطقه دق پترگان ایران و ... / ۳۱

از معادن بزرگ لیتیم جهان هستند. معادن Jajika واقع در چین نیز از معادن پگماتیتی است. معادن Kings Mountain و Volta Grande در ایالت کارولینای امریکا است معادن Mibra و Tanco در برزیل شامل عناصر مختلف و همچنین لیتیم هستند. معادن Tanca در مجاورت دریاچه برندیک کانادا دارای سزیم لیتیم تانتالیوم است. در نگاره‌های ۲ و ۳ تصویر معادن معروف نشان داده شده است.

دوازده معادن مطرح جهان شامل معادن Alberto, Feli, Bajoca که در مرز اسپانیا و پرتغال قرار دارند و این منطقه شامل پگماتیت‌های مختلف که در سنگ‌های رسوبی نفوذ کرده‌اند است و معادن Bikita در زیمبابوه واقع شده که سرشار از عناصر لیتیم تانتالیم قلع و... است و معادن Green Mount marion, Mount catlin bushes واقع در استرالیا که



نگاره ۲: تصویر معادن Mount marion



نگاره ۳: تصویر معادن Green bushes

## ۲-۳-۲- روشهای کلاسیک سنجش ازدوری

## ۲-۳-۱- نتایج ترکیب باند RGB

ترکیب باند یک تکنیک بهبود تصویر است، که با ترکیبی از باندهای مختلف طیفی و حرارتی یک ترکیب رنگی تولید می‌کند که تغییرات از نظر حرارتی و واحدهای زمین‌شناسی را در مقیاس منطقه‌ای بارزتر می‌کند (*Pour et al. 2015*).

## ۲-۳-۲- نسبت باندی

نسبت باند یک تکنیک استخراج اطلاعات از باندهای تصویر است که از تقسیم یک باند بر باند دیگر با هدف بر جسته‌سازی تفاوت‌های طیفی خاص حاصل می‌شود. نسبتها براساس قلهای و فرورفتگی‌های منحنی بازتاب هستند (*Ali et al. 2014*).

## ۲-۳-۳- تجزیه و تحلیل مؤلفه اصلی (PCA)

تحلیل مؤلفه‌های اصلی یک تکنیک آماری قدرتمند است که می‌تواند برای کاهش نویز اثرات تابشی که بر همه باندها غالب است، استفاده شود؛ بنابراین بازتاب طیفی عارضه‌های زمین را بهبود می‌بخشد (*Crosta, et al. 2003*). تبدیل تعدادی از باندهای همبسته به تعدادی باند ناهمبسته، آنالیز مؤلفه اصلی نامیده می‌شود. باندهای تصویر اغلب دارای همبستگی زیادی باهم هستند، تحلیل مؤلفه‌های اصلی اطلاعات مشابه و اطلاعات اضافی باندها، را ضمن حفظ و نگهداری اطلاعات اصلی موجود، کاهش می‌دهد (*Moghtaderi, et al. 2007, Gupta 2017*)

## ۲-۳-۴- SAM

یک روش طبقه‌بندی است که از شباهت طیفی بین طیف بازتابش هر پیکسل و طیف بازتابش مرجع، برای طبقه‌بندی استفاده می‌کند. الگوریتم شباهت طیفی را با محاسبه زاویه طیفی بین هر پیکسل و طیف مرجع در یک فضای  $n$  بعدی که  $n$  تعداد باندها است بررسی می‌کند و یک پیکسل با کوچک‌ترین زاویه طیفی که نشان‌دهنده تطابق نزدیک‌تری

## ۲-۳-۲- روشهای مورد استفاده

## ۲-۳-۱- الگوریتم بیشینه انتروپی (MAXENT)

مدل‌های توزیع گونه‌ها (SDMs)، رابطه بین حضور گونه‌ها در مکان‌ها و ویژگی‌های محیطی آن مکان‌ها را تخمین می‌زنند (*Franklin 2010*). ویژگی‌ها یا متغیرها در روشهای SDM شامل عوامل محیطی مربوط به منطقه مطالعاتی است که متناسب با هدف انتخاب می‌شوند (*Austin 2002*). یکی از پرکاربردترین روشهای SDM، مدل بیشینه انتروپی است که عملکرد مدل‌سازی آن به طور مداوم با روشهایی با عملکرد بالا در رقابت است (*Elith et al. 2006*).

در مورد بیشینه انتروپی اصطلاحاتی وجود دارد که برای استفاده از این مدل، آگاهی از آن‌ها لازم است. یکی از این اصطلاحات، منطقه جغرافیایی پیشنهادی (L) متناسب با موضع است. به زبانی ساده‌تر، منظور از L، منطقه‌ای است که مدل باید توسط داده‌های مربوط به آن تربیت شود. L<sub>1</sub> زیرمجموعه‌ای از L است، که گونه در آن حضور دارد و با عنوان (نمونه‌های وقوع) تعریف می‌شوند و علاوه بر این، متغیرهای کمکی مرتبط نیز که در اصطلاح، به آن‌ها نمونه‌های پس‌زمینه (عدم وقوع) گفته می‌شود تعریف می‌شوند. موقعیت مکانی این نمونه‌ها با روشهای مختلفی از جمله روش تصادفی و همچنین روش شبکه‌بندی تعیین می‌شود که روش شبکه‌بندی می‌تواند این اطمینان را بدهد که کل منطقه، با گام‌هایی مشخص پوشش داده شود. همانطور که در بخش (۲-۲) گفته شد، داده‌های مورد استفاده در این تحقیق، محدوده برخی معادن لیتیم و تصاویر ماهواره‌ای آن‌ها و همچنین تصاویر ماهواره‌ای مربوط به منطقه مطالعاتی دق پت‌گان است لذا باندهای (ستینل-۲) به عنوان متغیرهای محیطی و همچنین محدوده‌ی معادن لیتیم شناخته شده، به عنوان مناطق نمونه‌های حضور لیتیم در نظر گرفته شدند. مدل‌سازی توزیع نمونه‌ها صرفاً با داده‌های وقوع (مناطق حضور کانی‌های لیتیم) انجام می‌شود. خروجی این الگوریتم از نوع احتمال است و نشان‌دهنده میزان پتانسیل حضور نمونه‌های وقوع است.

فصلنامه علمی - پژوهشی اطلاعات جغرافیایی (میر)

۳۳ / ... و ایران پتگان منطقه دق لیتیم در برداری نقشه از دور برای سنجش داده‌های

-۳-۲- ایجاد شبکه‌ای از نمونه‌های پس زمینه  
 دو نگرش کلی برای انتخاب موقعیت نمونه‌های پس زمینه وجود دارد که مطابق با نگرش اول، نمونه‌های پس زمینه درواقع همان نمونه‌های عدم وقوع یا شبے-عدم وقوع هستند و بیانگر موقعیت‌هایی هستند که گونه‌های هدف (کانی‌های شاخص لیتیم) در آن وجود ندارند (*Radosavljevic et al 2014*) و مطابق با نگرش دوم، از آنجا که بیشینه انتروپی صرفاً با نمونه‌های وقوع به مدل‌سازی می‌پردازد، ممکن است در میان نمونه‌های پس زمینه، نمونه‌هایی باشند که به عنوان نمونه وقوع شناخته شوند و وجود این نمونه‌ها، مشکلی در فرآیند مدل‌سازی ایجاد نمی‌کند (*Phillips, et al. 2006*).

سعی شد از ترکیبی از هردو نگرش برای انتخاب موقعیت نمونه‌های پس زمینه استفاده شود، از آنجا که نگرش دوم، حساسیت‌های تعیین مقدار این فواصل را از بین می‌برد، این مقادیر به طور تقریبی برابر با  $2500$  و  $5000$  متر در نظر گرفته شدند. با توجه به اینکه، محدوده‌ی در نظر گرفته شده برای نمونه‌های پس زمینه در محدوده میان بافرهای  $2500$  و  $5000$  متری است، فضای بزرگتری را به نسبت مناطق وقوع شامل می‌شوند و انتخاب آن‌ها مطابق با آنچه گفته شد از حساسیت کمتری برخوردار است. بنابراین به جای شبکه‌ای از نقاط با فواصل  $200$  متری، از فاصله  $1000$  متر برای انتخاب موقعیت آن‌ها استفاده شد.

۴- تعیین متغیر های الگوریتم پیشنهادی آنتروپی ماهواره سنتیل-۲ دارای ۱۳ باند در طول موج های مختلف است، به منظور بازسازی بهتر تفاوت های طیفی، به همراه کلیه ای نسبت های باندیشان به عنوان متغیر های محیطی در نظر گرفته شدن. در مدل سازی، تفاوتی ندارد که خود یک متغیر استفاده شود یا معکوس آن، زیرا بعد از فرایند آموزش، مدل می تواند تشخیص دهد که از یک متغیر به چه صورت (مستقیم یا معکوس) استفاده کند. با در نظر گرفتن نکته مذکور، تمامی نسبت های ممکن از ۱۳ باند مختلف مربوط به معادن شناخته شده، محاسبه شدند و به همراه خود باندها، ۹۱ متغیر تشکیل شد.

با کلاس مرجع است به یک کلاس خاص اختصاص داده می‌شود (Lee, et al. 2022).

- بحث و یافته های بحثی
- ۱-۳ پیش پردازش تصاویر ماهواره ای
- تصاویر بدون ابر، ماهواره ای ستیبلن - ۲ برای ۱۲ معدن شناخته شده لیتیم در نقاط مختلف دنیا و همچنین برای منطقه مطالعاتی ( دق پرگان ) از سایت usgu بارگیری شدند. در شناسایی لیتیم، قبل از استفاده از باندهای تصاویر ماهواره ای، بازتاب سطح زمین برای آنها محاسبه شد.

۲-۳- پردازش تصاویر ماهواره‌ای به منظور پنهانی منطقه دق پترگان روش‌های پردازش تصویر کلاسیک شامل ترکیب باند و نسبت باند و آنالیز مؤلفه اصلی و SAM در محیط نرم‌افزار ENVI اجرا شدند. همچنین مدل‌سازی با روش بیشینه انتروپی، به کمک نرم‌افزارهای QGIS و MaxEnt و با برنامه‌نویسی به زبان پایتون انجام شد.

۳-۳-۱- ایجاد شبکه‌ای از نمونه‌های وقوع (نقاط حضور  
امداده‌سازی داده‌ها برای مدل‌سازی

محدوده معادن شناخته شده لیتیم جهان به عنوان مناطق قوع در نظر گرفته شدند و بنابراین نمونه هایی به صورت نقطه، که هر نقطه بیانگر یک موقعیت مکانی است، در محدوده معادن تولید شدند. به این منظور، به صورت شبکه بندی شده و با فواصل ۲۰۰ متری در طول و عرض جغرافیایی، نقاط قوع تولید شدند. کم بودن میزان این فواصل، باعث می شود که نمونه ها، بدون دارا بودن اطلاعات جدید، سرعت پردازش را به شدت کاهش دهند، درنتیجه این فواصل طوری انتخاب شدند که نه الگوریتم از اطلاعات جدید محروم بماند و نه سرعت پردازش کاهش چشمگیری بیندا کند.

۳-۵- محاسبه وابستگی بین متغیرهای ورودی و محاسبه مقادیر متغیرهای منتخب برای نمونه‌ها

### ۳-۶- محاسبه مقادیر متغیرهای منتخب برای منطقه مطالعاتی دق پترگان

پس از آنکه متغیرهای دارای وابستگی قابل قبول، توسط شاخص VIF شناسایی شدند، به وسیله باندهای تصاویر مربوط به محدوده منطقه دق پترگان، مقادیر این متغیرهای منتخب محاسبه و آماده ورود برای مدل‌سازی شدند.

### ۳-۷- مدل‌سازی با الگوریتم حداکثر آنتروپی

به طور معمول، برای آموزش مدل بیشینه انتروپی، از یک منطقه واحد استفاده می‌شود و باندهای تصویر آن منطقه در مدل‌سازی به کار می‌روند، اما در تحقیق حاضر برای آموزش مدل از محدوده معادن مختلف که در سراسر دنیا قرار دارند استفاده شد. لذا منطقی و بهینه نیست که تصاویری به وسعت کره زمین تهیه و در مدل‌سازی استفاده شوند، زیرا علاوه بر نیاز به حجم حافظه ذخیره‌سازی و پردازشی بسیار بالا، فرآیند آموزش مدل بسیار کند انجام خواهد شد و همچنین ممکن است نمونه‌های پس زمینه در مناطق بسیار دور افتاده از محدوده معادن انتخاب شوند. برای حل این مشکل، امکان استفاده از نمونه‌ها به همراه داده (SWD) در نرم‌افزار بیشینه انتروپی قرار داده شده است. در صورت بهره‌گیری از این ویژگی، مقدار متغیرها برای نمونه‌ها، به طور مستقیم، از ماتریس تشکیل شده در بخش ۵-۳ فراخوانی می‌شود.

پس از طی مراحلی که بیان شد داده‌ها، که شامل (الف) نمونه‌های وقوع با عنوان Samples. ب) نمونه‌های پس زمینه با عنوان Environmental layers ج) مقادیر متغیرهای منتخب مربوط به منطقه دق پترگان، در نرم‌افزار معرفی شدند. همچنین این نرم‌افزار با استفاده از الگوریتم Jackknife طی فرایند مدل‌سازی می‌تواند به تعیین اهمیت نسبی هریک از متغیرهای ورودی بپردازد.

برای نمونه‌های وقوع و پس زمینه، باید مقدار متغیرها (شامل باندها و نسبت‌های باندی آنها) از تصاویر استخراج شود و برای آموزش مدل به کار روند، قبل از آن لازم است که همبستگی میان متغیرها بررسی شود.

وجود همبستگی میان متغیرهای مختلف، امری طبیعی است و ممکن است پس از بررسی میزان همبستگی، بسیاری از متغیرها کنار گذاشته شوند. برای بررسی میزان همبستگی میان متغیرها و کنار گذاشتن (حذف) متغیرها با همبستگی بالا، از شاخص عامل تورم واریانس (VIF) استفاده شد. برای هر متغیر اگر مقدار شاخص VIF بیشتر از ۱۰ بود، آن متغیر کنار گذاشته شد و در آخر ۱۶ متغیر با همبستگی مناسب به دست آمد (جدول ۱).

جدول ۱: متغیرهای منتخب با محاسبه شاخص تورم واریانس

متغیرهای منتخب	VIF
B10	1.99
B03/B04	2.18
B02/B03	2.32
B01/B02	2.62
B05/B11	2.92
B06/B07	2.93
B07/B8A	3.74
B06/B08	3.75
B8A/B09	3.97
B04/B05	4.19
B08/B8A	4.38
B11/B12	4.61
B09/B10	5.50
B10/B11	5.58
B01/B10	6.75
B09/B11	7.17

سپس از تصاویر مربوط به محدوده دورازده معادن لیتیم مقدار این متغیرها برای نمونه‌های وقوع و پس زمینه محاسبه شد و این مقادیر به تفکیک در دو ماتریس به همراه مختصات

**فصلنامه علمی - پژوهشی اطلاعات جغرافیایی (سمر)**  
**داده‌های سنجش از دور برای نقشه‌برداری لیتیم در منطقه دق پترگان ایران و ... / ۳۵**

شهری و مزارع به رنگ سفید و زرد روشن ظاهر شدند.

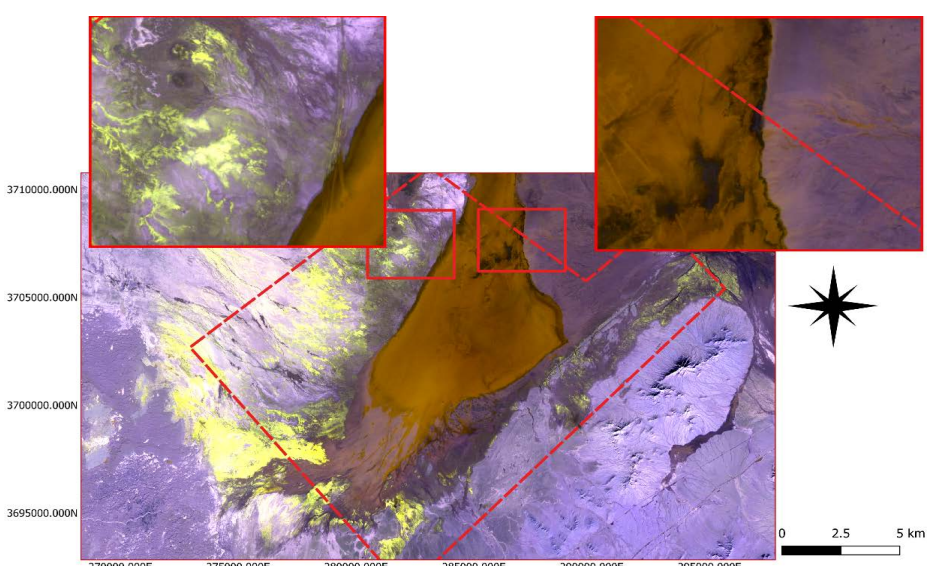
**۳-۸-۳- نتایج**

**۳-۱-۸-۳- نتایج ترکیب باند RGB**

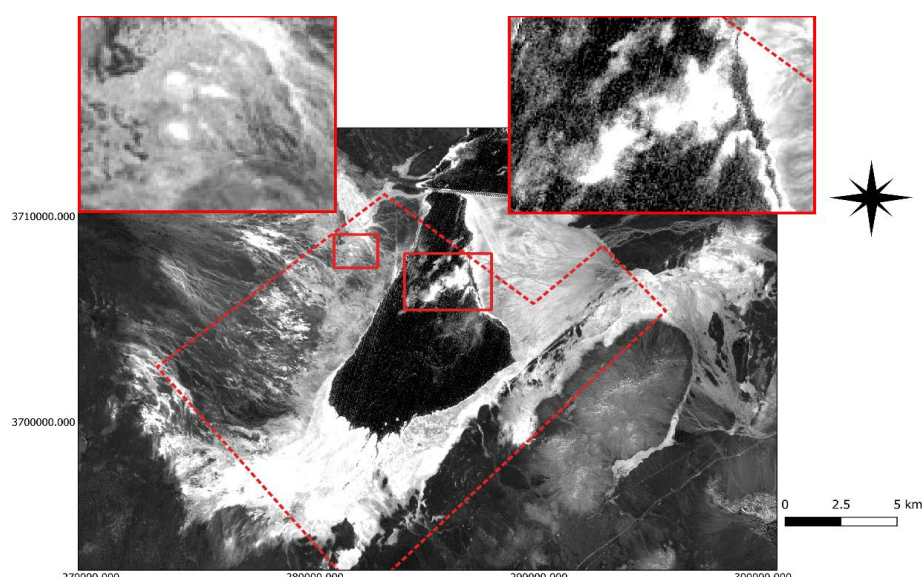
**۳-۲-۸-۳- نتایج نسبت باندی**

کلیه نسبت‌های باندی شاخته شده و پیشنهادی در منطقه مطالعاتی پیاده‌سازی شدند، از بین آن‌ها نسبت باندی ۱۱/۱۲ بازسازی مناسب‌تری را ارائه داد اما همانطور که در (نگاره ۵) مشخص است، پیکسل‌های زیادی روشن شده‌اند.

از بین ترکیب‌های شناخته شده برای سنجنده‌ی ستینل-۲، ترکیب ۳۲۱۲ انتخاب شد، که نسبت به سایر ترکیب‌ها قادر به بر جسته‌سازی مناسب‌تری برای کانی‌های شاخص لیتیم در منطقه است (نگاره ۴). با استفاده از این ترکیب مناطق حضور لیتیم به رنگ زرد و همچنین مناطق



**نگاره ۴: نتیجه پهنه‌بندی منطقه مطالعاتی توسط ترکیب ۳۲۱۲**



**نگاره ۵: نتیجه پهنه‌بندی منطقه مطالعاتی (دق پترگان) توسط نسبت باند ۱۱/۱۲**

تصاویر معدن لیتیم استفاده شد. در نهایت بارزسازی در محدوده مطالعاتی انجام شد و تعدادی از پیکسل‌ها بر جسته شدند (نگاره ۷).

**۳-۵-۵- نتایج الگوریتم پیشینه آنتروپی AUC**

**۳-۵-۸-۱- معیار موفقیت مدل‌سازی، شاخص AUC**

شاخصی به نام AUC که به معنی مساحت زیر منحنی است (منحنی ROC)، به کار گرفته شد که یک معیار مستقل از آستانه برای دقت پیش‌بینی است و صرفاً بر مبنای رتبه بندی مکان‌ها و در واقع نشان‌دهنده میزان موفقیت مدل در تمایز نمونه‌های وقوع و پس زمینه است. هرچه مقدار AUC بیشتر باشد به این معنی است که مدل، عملکرد بهتری دارد و بیشترین مقدار آن می‌تواند ۱ باشد. مقادیر AUC بین ۰/۱ و ۰/۵، به معنی پیش‌بینی تصادفی محل نهادن وقوع، مقادیر بین ۰/۵ و ۰/۷ به معنای عملکرد ضعیف مدل و مقادیر میان ۰/۷ تا ۱ به معنای عملکرد مناسب مدل است.

در نمودار ۱ خط مشکی رنگ نشان‌دهنده مرز میان یک پیش‌بینی تصادفی و غیر تصادفی است که مساحت زیر سطح نمودار آن (AUC) برابر با ۰/۵ است. هرچه نمودار ROC مربوط به داده‌های آموزش و آزمون، از سمت بالا

### ۳-۸-۳- نتایج آنالیز مؤلفه اصلی

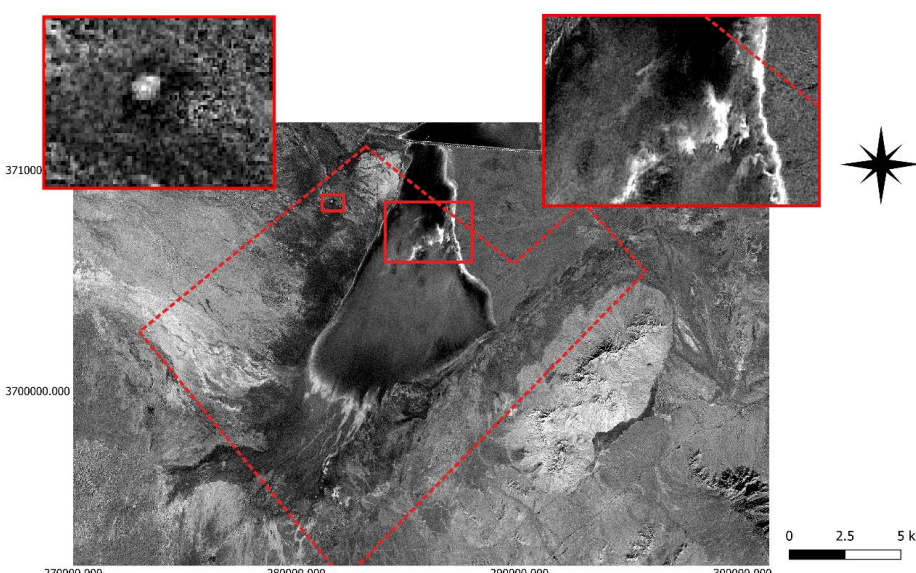
به منظور ایجاد نقشه کانی‌های شاخص لیتیم، تجزیه و تحلیل مؤلفه اصلی به صورت انتخابی و بر روی باندهای سنجنده ستینل-۲ انجام شد. نتایج حاصل از این آنالیز در جدول ۲ نشان داده شده است. مقادیر بردار ویژه در مؤلفه اصلی ۱۰ بیشترین تفاوت را نشان می‌دهد، بنابراین انتخاب شد و در تصویر حاصل پیکسل‌هایی روش شدند و بارزسازی انجام شد (نگاره ۶).

جدول ۲: مقادیر بردارهای ویژه باندهای انتخابی

	BAND11	BAND12
PC2	-0.001410	0.006556
PC3	0.029351	0.008696
PC8	-0.065797	-0.054708
PC10	-0.420272	0.797499

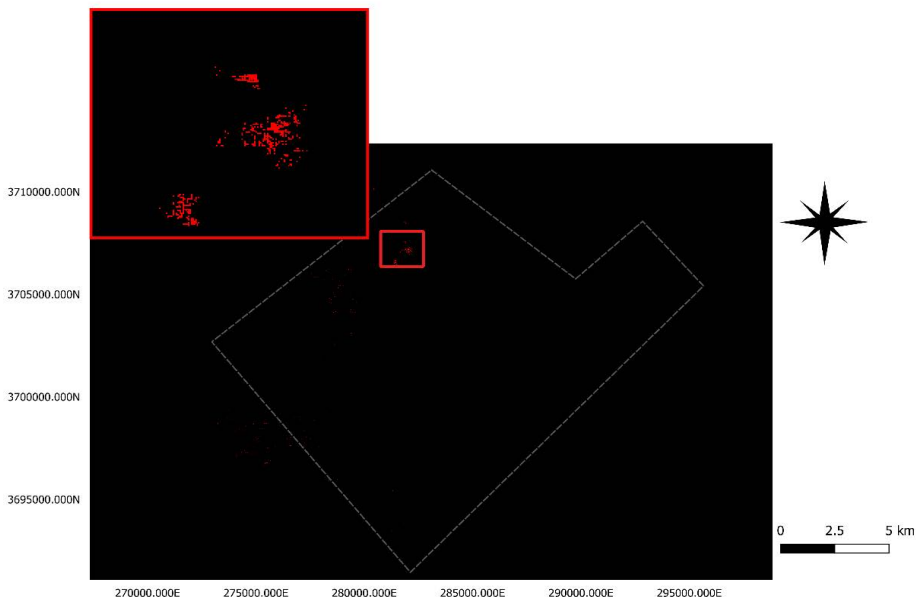
### ۳-۸-۴- نتایج SAM

برای آشکارسازی کانی‌های شاخص لیتیم در محدوده مطالعاتی با استفاده از روش طبقه‌بندی SAM احتیاج به معرفی طیف کانی‌های شاخص لیتیم از یک کتابخانه طیفی یا تصویر است، که در این راستا از طیف‌های مختلف



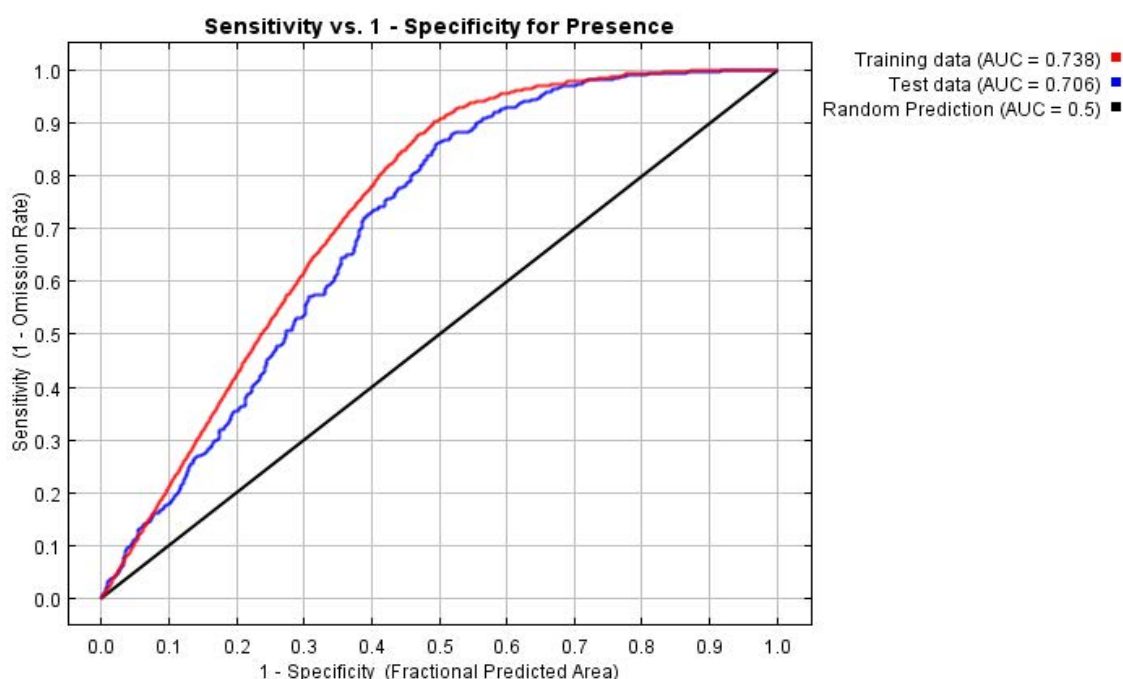
نگاره ۶: نتیجه پهن‌بندی منطقه مطالعاتی (دق پترگان) توسط مؤلفه اصلی ۱۰

فصلنامه علمی - پژوهشی اطلاعات جغرافیایی (SAM)  
داده‌های سنجش از دور برای نقشه‌برداری لیتیم در منطقه دق پترگان ایران و ... / ۳۷



نگاره ۷: نتیجه پهنگ‌بندی منطقه مطالعاتی توسط روش SAM

از آن فاصله داشته باشد، مساحت سطح زیر نمودار بیشتر خواهد بود و به تبع، مقدار AUC بیشتر خواهد شد. در تحقیق حاضر، این نمودارها، از سمت بالا فاصله خوبی که مدل، عملکرد مناسبی در مدل‌سازی با نمونه‌های وقوع با خط مشکی رنگ دارند و مقدار AUC برای داده‌های آموزش و آزمون، به ترتیب برابر با ۰/۷۳۸ و ۰/۷۰۶ محسوب شد که چون بیشتر از ۰/۷ شده است، می‌توان نتیجه گرفت که مدل، عملکرد مناسبی در مدل‌سازی با نمونه‌های وقوع داشته است.



نمودار ۱: ROC مدل بیشینه آنتروپی، بر حسب مقدار AUC

در نمودار ۲، رنگ آبی مربوط به رویکرد اول و رنگ فیروزه‌ای مربوط به رویکرد دوم است. هرچه مقدار نمودار آبی به ازای یک متغیر بیشتر باشد و مقدار نمودار فیروزه‌ای کمتر باشد، آن متغیر از اهمیت نسبی بیشتری برخوردار است. نمودار قرمز رنگ نیز مقادیر مربوطه را، با حضور تمامی متغیرهای ورودی مدل، نشان می‌دهد. براساس نمودار ۲ که بر مبنای شاخص AUC محاسبه شده است، متغیرهای B06/B07، B06/B08 و B01/B10 از اهمیت نسبی بالایی برخوردارند که نشان می‌دهد، اطلاعاتی در آن‌ها نهفته است که در سایر متغیرها کمتر است.

### ۳-۵-۸-۳- نقشه‌ی پهن‌بندی منطقه مورد مطالعه با روش بیشینه انتروپی

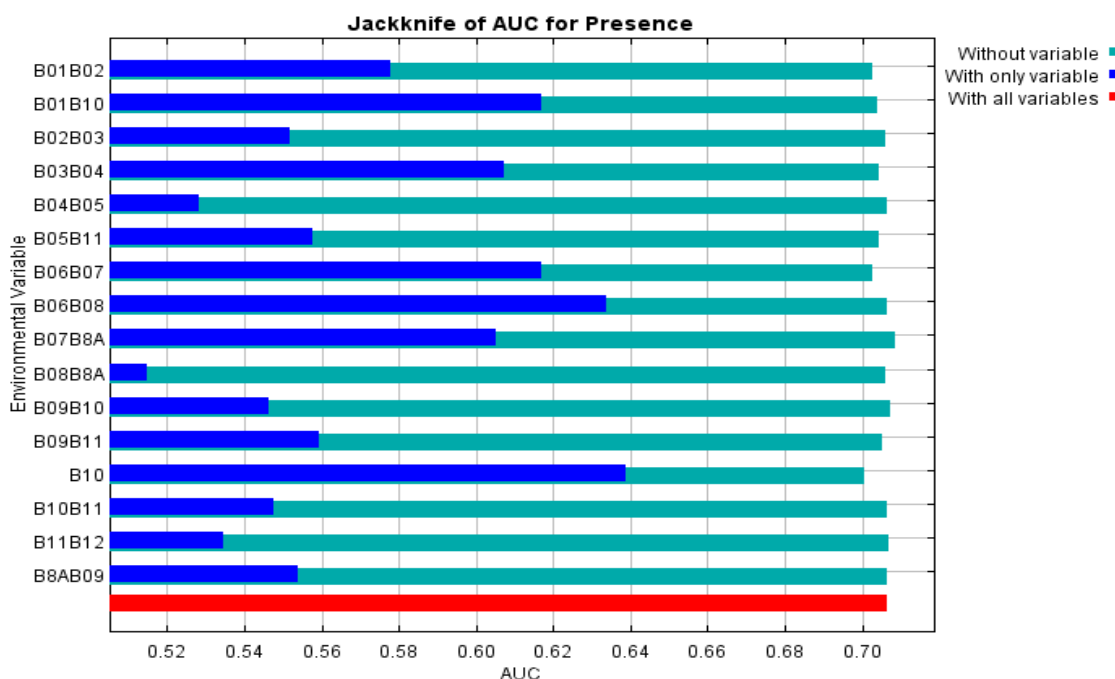
پس از طی تمامی مراحل آماده‌سازی داده‌ها و انجام مدل‌سازی توسط نرم‌افزار بیشینه انتروپی، پهن‌بندی منطقه مطالعاتی انجام شد که میزان احتمال حضور لیتیم برای هر پیکسل از منطقه را برآورد می‌کند و این نتایج درنهایت، در یک تصویر زمین مرجع شده (نگاره ۸) نشان داده شد.

### ۳-۵-۸-۲- اهمیت نسبی متغیرهای ورودی در فرایند مدل‌سازی بیشینه انتروپی

ارزیابی اهمیت نسبی متغیرهای ورودی، حاوی اطلاعات ارزشمندی است که انتخاب متغیرها برای استفاده در مدل‌سازی را محدود می‌کند و موجب تسهیل در انجام مدل‌سازی می‌شود. در مدل‌سازی بیشینه انتروپی، برای تعیین اهمیت و سهم نسبی متغیرهای ورودی در پیش‌بینی نمونه‌های وقوع، الگوریتم Jackknife به کار برده شد.

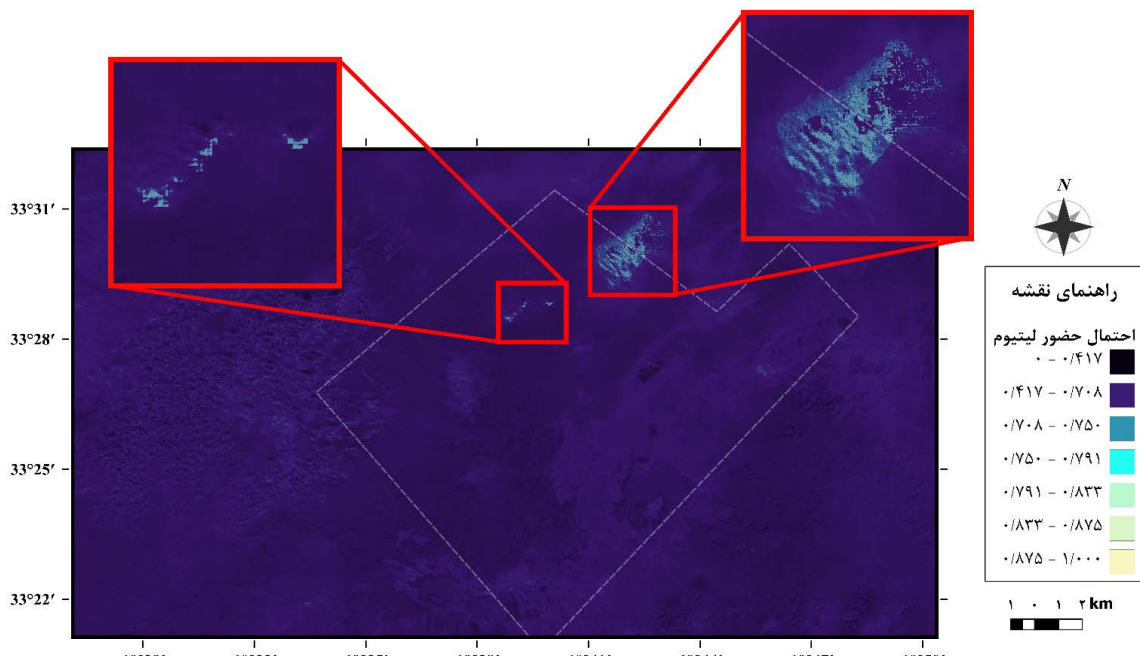
(الف) رویکرد اول، مدل‌سازی تنها با یکی از متغیرهای ورودی انجام می‌شود و این‌کار به ازای تمامی متغیرهای ورودی تکرار می‌شود. متغیری که بتواند به تنها‌یی به عملکرد بهتری در پیش‌بینی برسد، اهمیت نسبی بالاتری نسبت به دیگر متغیرهای ورودی دارد.

(ب) رویکرد دوم، مدل‌سازی هر بار با تمامی پارامترها انجام می‌شود و تنها یکی از آن‌ها کنار گذاشته می‌شود. به این ترتیب، متغیری که در فقدان آن، عملکرد مدل کاهش بیشتری داشته باشد، از اهمیت نسبی بالاتری به نسبت دیگر متغیرهای ورودی برخوردار است.



نمودار ۲: اهمیت نسبی متغیرهای ورودی بر مبنای شاخص AUC و با الگوریتم روش Jackknife

**فصلنامه علمی - پژوهشی اطلاعات جغرافیایی (سمر)**  
**داده‌های سنجش از دور برای نقشه‌برداری لیتیم در منطقه دق پترگان ایران و ... / ۳۹**



نگاره ۸: نتیجه پهنه‌بندی منطقه مطالعاتی توسط مدل بیشینه انتروپی

لیتیم به عنوان مهم‌ترین ذخیره ساز انرژی در دنیا از تکمیل عملیات اکتشاف عمومی ذخایر دق پترگان خبر داد. بدیهی است که اگر چه در این تحقیق احتمال حضور کانی‌های شاخص لیتیم سنجیده شد اما این گزارش‌ها می‌توانند گواهی بر صحت پتانسیل‌یابی‌های معدنی از طریق سنجش از دور باشند.

**۱-۹-۳- محاسبه دقیق پهنه‌بندی**  
 یکی از مراحل نهایی پهنه‌بندی تصویر ارزیابی دقیق است که هدف آن مشخص کردن کمیت اختصاص صحیح پیکسل‌های تصویر به کلاس‌های مورد نظر است. پیش‌تر از طریق شاخص AUC نحوی عملکرد الگوریتم بیشینه آنتروپی ارزیابی شد و نتایج مناسبی به دست آمد. به منظور مقایسه روش‌ها مجدداً یک ارزیابی انجام شد. مطابق با پیکسل‌های تصاویر ماتریس خطأ در محدوده مطالعاتی دق پترگان (نگاره ۱) با استفاده از نقاطی که به عنوان حضور لیتیم در نظر گرفته شدند و کلیه نقاط برای هر روش تعیین شد و با استفاده از این ماتریس دقیق‌تر کلی و آنالیز کاپا محاسبه شدند. نتایج دقیق کلی و آنالیز کاپا در جدول ۳- نشان داده شده‌اند.

مطابق با نتیجه پهنه‌بندی منطقه مطالعاتی (خط مقطع با رنگ روشن)، دو قسمت مختلف به عنوان مناطق محتمل حاوی کانی‌های شاخص لیتیم شناسایی شدند. منطقه اول با موقعیت جغرافیایی تقریبی  $39^{\circ} 60'$  شرقی و  $28^{\circ} 33^{\circ}$  شمالی به مساحت تقریبی ۳۳۷۴ هکتار و دیگری در موقعیت جغرافیایی تقریبی  $41^{\circ} 60'$  شرقی و  $29^{\circ} 33^{\circ}$  شمالی به مساحت تقریبی ۲۶۵ هکتار واقع شده است که به وضوح از سایر مناطق قابل تمایز هستند و به خوبی بارزسازی شدند.

**۳-۹- اعتبارسنجی**  
 عملیات اکتشاف محدوده دق پترگان استان خراسان جنوبی توسط سازمان توسعه و نوسازی معادن و صنایع معدنی ایران انجام شد. نتایج آن در گزارشی تحت عنوان پهنه‌های اکتشافی ایمیدرو در سال (۱۳۹۵) منتشر و عملیات اکتشاف در فاز پی‌جويي و شناسايي اوليه اعلام شد. نگاره (۱) طبق اين گزارش محدوده دق پترگان را مشخص می‌کند. در گزارش دیگری در سال (۱۳۹۷) تحت عنوان بررسی پتانسیل‌های کشور برای اکتشاف، استحصال و بازیافت فلز

پهنه‌بندی تقریباً تصادفی حاصل شد. به طور کلی، نسبت باند در شناسایی با شکست مواجه شد و با توجه به تحقیقات پیشین (Pour et al 2015) می‌توان گفت این روش در مقایس کوچک و در مناطق معدنی در حال بهره‌برداری نتایج بهتری ارائه می‌دهد. البته به کارگیری تصایر ماهواره‌ای با وضوح طیفی بالاتر می‌تواند منجر به راندمان بالاتر در تهیه نقشه و تفکیک مواد معدنی شود.

PCA انتخابی برای برجسته‌سازی لیتیم به کار برده شده در نگاره ۶ PC10 مناطقی زیادی را به صورت روشن نشان داد (Cardoso-Fernandes, et al. 2019) نیز از PCA انتخابی برای بارزسازی لیتیم استفاده کردند و در نتیجه بعضی از مناطق شهری و زمین‌های کشاورزی به صورت پیکسل‌های روشن نشان داده شدند که بر لزوم حذف این مناطق در فرایند پردازش تصویر تأکید می‌کند. در روش SAM از طیف تصاویر معادن مختلف لیتیم و طیف‌های کتابخانه‌ی طیفی مربوط به کانی‌های شاخص لیتیم استفاده شد. تعدادی از پیکسل‌ها بارز شدند، که البته یکی از مناطق بارز شده در روش پیشینه آنتروپی را نیز تقریباً برجسته نموده است (نگاره ۷). البته برای بهبود عملکرد این روش می‌توان از طیف‌سنگی برای داده‌های زمینی کمک گرفت. تجزیه و تحلیل نتایج مربوط به روش‌های کلاسیک پردازش تصویر در شناسایی لیتیم، نشان می‌دهد که اگرچه بعضی از این روش‌ها مناطق بارز شده توسط الگوریتم پیشینه آنتروپی را نیز بارز کردند، اما بر لزوم توصیف تغییرات مرتبط با کانی‌های شاخص لیتیم از طریق الگوریتم‌های سنجش از دور نظارت شده تأکید می‌کنند. Shevyrev et al (2022) برای اکتشاف منابع معدنی مختلف در مناطق استراتژیک و دور افتاده و با مشکل دسترسی، از مدل پیش‌بینی پیشینه آنتروپی استفاده کردند و یک نقشه پیش‌بینی معدنی برای کانی‌های مختلف ارائه دادند و به شاخص  $AUC = 0.7$  دست یافتند که حاکی از عملکرد مناسب مدل‌سازی بود. در اینجا نیز مدل پیشینه آنتروپی با استفاده از شاخص  $AUC$  ارزیابی شد و مقدار  $AUC$  آن  $0.706$  بود. در نهایت آمد (نمودار ۱)،

جدول ۳: ارزیابی دقت کلی و ضریب کاپا

ضریب کاپا	دقت کلی	روش پهنه‌بندی
0.877516	0.943565	مدل پیشینه آنتروپی
0.597037	0.641975	ترکیب باند
0.798418	0.858514	نسبت باندی
0.785653	0.844788	تجزیه و تحلیل مؤلفه اصلی
0.597037	0.641975	SAM روش

## ۳-۱۰- بحث

در سنجش از دور، مناطق معدنی عمده‌تاً از طریق تغییرات هاله‌های مرتبط شناسایی می‌شوند. به این منظور در مطالعه حاضر چند روش شناخته شده و کلاسیک پردازش تصویر، Cardoso-Fernandes, et al. (2019) ترکیب رنگی ۳۲۱۲ را اعمال کردند در نتیجه مناطقی با رنگ زرد روشن حاصل شد که علاوه بر مناطق حضور لیتیم مناطق شهری را نیز به رنگ زرد روشن نشان دادند که با نتیجه کاربرد ترکیب باندی ۳۲۱۲ در منطقه مطالعاتی دق پترگان هم خوانی داشت (نگاره ۴). وجود باند حرارتی نقش کلیدی در بارزسازی لیتیم با تکنیک ترکیب باند دارد اما در ترکیب پیشنهادی ۳۲۱۲ از آنچایی که سنجنده ستینل ۲-باند حرارتی در دسترس ندارد، باند حرارتی با یک باند SWIR جایگزین شد. تشابه رنگی برای مناطق محتمل حضور لیتیم و مناطق شهری و مزارع مانع استفاده آن به تهایی برای آشکارسازی است و لذا ترکیب باندی ۳۲۱۲، اگرچه در کنار سایر روش‌های پردازش تصویر می‌تواند اطلاعات مناسبی ارائه دهد اما به تهایی تمایز مناسبی برای مناطق محتمل حضور لیتیم، ندارد و برای بررسی پاسخ‌های مشابه باید مطالعات طیفی و میدانی انجام شود.

پس از آزمودن نسبت‌های باندی مختلف سرانجام نسبت باندی ۱۱/۱۲ پیشنهادی (Pour et al 2015) به منظور بارزسازی تغییرات معدنی، مورد استفاده قرار گرفت (نگاره ۵). پیکسل‌های بسیار زیادی در منطقه با رنگ روشن نمایان شد که تشخیص مناطق محتمل حضور لیتیم را دشوار ساخت و با توجه به ضریب کاپا و دقت کلی  $0/۶۴۱۹۷۵$  و  $0/۵۹۷۰۳۷$  توجه به ضریب کاپا و دقت کلی انجام شود.

## فصلنامه علمی - پژوهشی اطلاعات جغرافیایی (۲۰۱۸)

داده‌های سنجش از دور برای نقشه‌برداری لیتیم در منطقه دق پترگان ایران و ... / ۴۱

بنابراین نقاط بیشتری به طور کاذب ارائه دادند. مدل‌سازی بیشینه آنتروپی روشی نظارت شده است و با ویژگی‌های منحصر به فرد خود ابزاری قادرمند برای استخراج ویژگی‌های تصاویر ماهواره‌ای است و توانست نقاط کاذب مشبت کمتری در مقیاس بزرگ ارائه دهد. ارزیابی دقت کلی و ضریب کاپای محاسبه شده برای روش‌های مختلف، نشان داد که مدل بیشینه آنتروپی با میزان دقت کلی  $0.943$  و ضریب کاپای  $0.877$  عملکرد مناسب‌تری داشت.

### ۵- پیشنهادات

تحقیق حاضر، به طور خاص هدف پتانسیل‌سنجی منابع لیتیم را دنبال کرد، اما اهداف کلی تری را نیز محقق ساخت. به طور کلی یک رویکرد خودکار با الگوریتم بیشینه آنتروپی برای اکتشاف منابع لیتیم مختلف ارائه شد. بنابراین پیشنهاد می‌شود که در مناطق مختلف و برای اکتشاف منابع گوناگون مورد استفاده قرار گیرد. یک نکته حائز اهمیت، استفاده از حداقل داده‌های ممکن در این پژوهش برای انجام مدل‌سازی توزیع گونه‌ها است و این، خود یک مزیت مهم برای کار فعلی به حساب می‌آید و با کاهش هزینه‌های نقشه‌برداری میدانی توجه به اکتشاف از طریق سنجش از دور را به خود جلب می‌کند. اما با این حال، طبیعتاً در صورتی که نیاز به دقت و اطمینان بیشتری برای اکتشاف محدوده معادن باشد، داده‌های زمینی می‌توانند عملکرد مدل را بهبود بخشنند. به عنوان یک پیشنهاد دیگر، می‌توان علاوه بر تصاویر ماهواره‌ای ستینل-۲، از دیگر داده‌های سنجش از دوری شامل تصاویر ماهواره‌ای لنست-۸ و ۹ نیز استفاده نمود و با توجه به اینکه میزان همبستگی میان تمامی متغیرها بررسی می‌شود، می‌توان انبوی از تصاویر ماهواره‌ای مختلف را مورد استفاده قرار داد و درنهایت مشخص می‌شود که چه باندها و شاخص‌هایی برای مدل‌سازی می‌توانند مفید باشند و مشخص می‌شود که هریک چه سهمی در مدل‌سازی داشته‌اند و این نتایج در اختیار محققان و کاوشگران قرار می‌گیرد.

نتایج موفقیت‌آمیز این مدل می‌تواند گواهی بر توانایی پتانسیل‌سنجی معدنی از طریق سنجش از دور، باشد.

### ۴- نتیجه گیری

هدف اصلی این پژوهش، پتانسیل‌سنجی منابع لیتیم، با استفاده از داده‌ها و روش‌های سنجش از دور و مقایسه عملکرد این روش‌ها در راستای نیل به این هدف بود. داده‌های تحقیق حاضر، تصاویر سنجنده ستینل-۲ و همچنین محدوده معادن شناخته شده جهان بود که هر دو به راحتی قابل تهیه هستند. در محدوده معادن شناخته شده، نمونه‌های حضور لیتیم و نمونه‌های پس‌زمینه (عدم حضور لیتیم) انتخاب شدند و برای آنها، متغیرهای مدل‌سازی استخراج شد. به‌منظور جلوگیری از کاهش عملکرد مدل و همچنین برای داشتن اطمینان بیشتر در تفسیر نتایج مدل، همبستگی بین متغیرهای ورودی با شاخص عامل تورم واریانس بررسی شد و متغیرهایی که دارای همبستگی بالا بودند کنار گذاشته شده و مابقی وارد مدل شدند. سپس مدل‌سازی توزیع گونه‌ها توسط مدل بیشینه آنتروپی انجام شد، مقدار شاخص AUC به عدد  $0.706$  رسید که نشان‌دهنده عملکرد مناسب مدل‌سازی توزیع کانی‌های شاخص لیتیم بود. علاوه بر این، اهمیت نسبی هریک از متغیرها در فرایند مدل‌سازی مشخص شد. از میان تمامی باندهای ستینل-۲، باندهای B01، B07 و به‌طور خاص، B10 از اهمیت بالایی برخوردار بودند. به عنوان نتیجه نهایی مدل بیشینه آنتروپی دو قسمت از منطقه مطالعاتی دق پترگان، به عنوان مناطق محتمل منابع لیتیم شناسایی شد که می‌تواند اطلاعات مفیدی را در اختیار کاوشگران قرار دهد. برای مقایسه عملکرد پهنه‌بندی روش بیشینه آنتروپی با روش‌هایی که در تحقیقات پیشین برای پتانسیل‌سنجی معدنی به کار برده شده‌اند روش‌های ترکیب باند، نسبت باندی، آنالیز مؤلفه اصلی انتخابی، SAM نیز پیاده‌سازی شدند و بعضی از آن‌ها نیز مناطق باز شده توسط مدل بیشینه آنتروپی را برجسته کردند اما در استخراج ویژگی‌های مفید برای پهنه‌بندی عملکرد ضعیفی داشتند،

& Rode-Robles, E. (2020, September). Lithium (Li) Pegmatite Mapping Using Artificial Neural Networks (ANNs): Preliminary Results. In IGARSS 2020-2020 IEEE International Geoscience and Remote Sensing Symposium (pp. 557-560). IEEE.

11- Cardoso-Fernandes, J., Silva, J., Perrotta, M. M., Lima, A., Teodoro, A. C., Ribeiro, M. A., ... & Roda-Robles, E. (2021). Interpretation of the Reflectance Spectra of Lithium (Li) Minerals and Pegmatites: A Case Study for Mineralogical and Lithological Identification in the Fregeneda-Almendra Area. *Remote Sensing*, 13(18), 3688.

12- Crosta, A. P., De Souza Filho, C. R., Azevedo, F., & Brodie, C. (2003). Targeting key alteration minerals in epithermal deposits in Patagonia, Argentina, using ASTER imagery and principal component analysis. *International journal of Remote sensing*, 24(21), 4233-4240.

13- Elith\*, J., H. Graham\*, C., P. Anderson, R., Dudík, M., Ferrier, S., Guisan, A., ... & E. Zimmermann, N. (2006). Novel methods improve prediction of species' distributions from occurrence data. *Ecography*, 29(2), 129-151.

14- Franklin, J. (2010). *Mapping species distributions: spatial inference and prediction*. Cambridge University Press.

15- Gao, Y., Bagas, L., Li, K., Jin, M., Liu, Y., & Teng, J. (2020). Newly discovered Triassic lithium deposits in the Dahongliutan area, Northwest China: A case study for the detection of lithium-bearing pegmatite deposits in rugged terrains using remote-sensing data and images. *Frontiers in Earth Science*, 8, 591966.

16- Grosjean, C., et al. (2012). "Assessment of world lithium resources and consequences of their geographic distribution on the expected development of the electric vehicle industry." *Renewable and Sustainable Energy Reviews* 16(3): 1735-1744.

17- Gruber, P. W., et al. (2011). "Global lithium availability: A constraint for electric vehicles?" *Journal of Industrial Ecology* 15(5): 760-775.

18- Gupta, R. P. (2017). *Remote sensing geology*. Springer.

## منابع و مأخذ

- ۱- «بررسی پتانسیل‌های کشور به منظور اکتشاف، استحصال و بازیافت فلز لیتیم به عنوان مهم‌ترین ذخیره‌ساز انرژی در دنیا». ۱۳۹۷. <https://rc.majlis.ir/fa/report/show/1084010>
- ۲- پنهان‌های اکتشافی ایمیدرو ۱۳۹۵. [https://angouran. impasco.gov.ir](https://angouran.impasco.gov.ir)
- ۳- نجعی، دیعتی، میرعربی؛ محمد، میثم ، علی، ۱۳۸۸. منشاء شوری آب زیرزمینی دشت شاهرخت (خراسان جنوبی)، دومین کنفرانس سراسری آب، بهبهان، [civilica.com/doc/83530](https://civilica.com/doc/83530)
- 4- Ali, Ahmed SO, & Amin Beiranvand Pour. (2014). Lithological mapping and hydrothermal alteration using Landsat 8 data: a case study in ariab mining district, red sea hills, Sudan. *International Journal of Basic and Applied Sciences*, 3(3), 199.
- 5- Austin, Mike P. (2002). Spatial prediction of species distribution: an interface between ecological theory and statistical modelling. *Ecological modelling*, 157(2-3), 101-118.
- 6- Booyesen, R., Lorenz, S., Thiele, S. T., Fuchsloch, W. C., Marais, T., Nex, P. A., & Gloaguen, R. (2022). Accurate hyperspectral imaging of mineralised outcrops: An example from lithium-bearing pegmatites at Uis, Namibia. *Remote Sensing of Environment*, 269, 112790.
- 7- Cardoso-Fernandes, J., Lima, A., & Teodoro, A. C. (2018, October). Potential of Sentinel-2 data in the detection of lithium (Li)-bearing pegmatites: a study case. In *Earth resources and environmental remote sensing/GIS applications IX* (Vol. 10790, pp. 201-215). SPIE.
- 8- Cardoso-Fernandes, J., Teodoro, A. C., & Lima, A. (2019). Remote sensing data in lithium (Li) exploration: A new approach for the detection of Li-bearing pegmatites. *International Journal of Applied Earth Observation and Geoinformation*, 76, 10-25.
- 9- Cardoso-Fernandes, J., Teodoro, A. C., Lima, A., & Roda-Robles, E. (2020). Semi-automatization of support vector machines to map lithium (Li) bearing pegmatites. *Remote Sensing*, 12(14), 2319.
- 10- Cardoso-Fernandes, J., Teodoro, A. C., Lima, A.,

## فصلنامه علمی - پژوهشی اطلاعات جغرافیایی (میراث)

داده‌های سنجش از دور برای نقشه‌برداری لیتیم در منطقه دق پترگان ایران و ...

- 43 /
- relacionadas a mineralizações de lítio, gemas e minerais industriais na região do Vale do Jequitinhonha (MG) a partir de imagens ASTER. SIMPÓSIO BRASILEIRO DE SENSORIAMENTO REMOTO, 12(2005), 1855-1862.
- 26- Phillips, S. J., Anderson, R. P., & Schapire, R. E. (2006). Maximum entropy modeling of species geographic distributions. Ecological modelling, 190(3-4), 231-259.
- 27- Pour, A. B., & Hashim, M. (2015). Hydrothermal alteration mapping from Landsat-8 data, Sar Cheshmeh copper mining district, south-eastern Islamic Republic of Iran. Journal of Taibah University for Science, 9(2), 155-166.
- 28- Radosavljevic, A., & Anderson, R. P. (2014). Making better Maxent models of species distributions: complexity, overfitting and evaluation. Journal of biogeography, 41(4), 629-643.
- 29- Rostampour, M., Jafari, M., Tavili, A., Azarnivand, H., & Eslami, S. V. (2017). Investigation of Plant species composition and diversity along a soil salinity gradient in margin rangelands of Petregan Playa, Southern Khorasan. Desert Ecosystem Engineering Journal, 6(16), 11-24.
- 30- Shevyrev, S., & Carranza, E. J. M. (2022). Application of maximum entropy for mineral prospectivity mapping in heavily vegetated areas of Greater Kurile Chain with Landsat 8 data. Ore Geology Reviews, 142, 104758.
- 31- Singh, Y. (2022). Lithium Potential of the Indian Granitic Pegmatites. Journal of the Geological Society of India, 98(7), 917-925.
- 19- Kim, T., Song, W., Son, D. Y., Ono, L. K., & Qi, Y. (2019). Lithium-ion batteries: outlook on present, future, and hybridized technologies. Journal of materials chemistry A, 7(7), 2942-2964.
- 20- Köhler, M., Hanelli, D., Schaefer, S., Barth, A., Knobloch, A., Hielscher, P., ... & Teodoro, A. C. (2021). Lithium potential mapping using artificial neural networks: a case study from Central Portugal. Minerals, 11(10), 1046
- 21- Lee, B., Kim, B., Woo, C., Jung, G., Kwon, G., & Park, J. (2022). Forest Burn Severity Mapping Using Multispectral Unmanned Aerial Vehicle Images and Light Detection and Ranging (LiDAR) Data: Comparison of Maximum Likelihood, Spectral Angle Mapper, and U-Net Classifiers. Sensors and Materials, 34(12), 4599-4614.
- 22- London, D. (1986). "Holmquistite as a guide to pegmatitic rare metal deposits." Economic Geology 81(3): 704-712.
- 23- Mendes, D., Perrotta, M. M., Costa, M. A. C., & Paes, V. J. C. (2017). Mapeamento espectral para identificação de assinaturas espectrais de minerais de lítio em imagens ASTER (NE/MG). Proceedings of the Anais do XVIII Simpósio Brasileiro de Sensoriamento Remoto, Santos-SP, Brasil, 28-29.
- 24- Moghtaderi, A., Moore, F., & Mohammadzadeh, A. (2007). The application of advanced space-borne thermal emission and reflection (ASTER) radiometer data in the detection of alteration in the Chadormalu paleocrater, Bafq region, Central Iran. Journal of Asian Earth Sciences, 30(2), 238-252.
- 25- Perrotta, M. M., Souza Filho, C. R., & Leite, C. A. S. (2005). Mapeamento espectral de intrusões pegmatíticas

---

## COPYRIGHTS

©2023 by the authors. Published by National Geographical Organization. This article is an open access article distributed under the terms and conditions of the Creative Commons [Attribution-NoDerivs 3.0 Unported \(CC BY-ND 3.0\)](https://creativecommons.org/licenses/by-nd/3.0/)

---

